

บทที่ 2

วรรณกรรมและงานวิจัยที่เกี่ยวข้อง

เซลล์แสงอาทิตย์สามารถเปลี่ยนพลังงานแสงอาทิตย์ให้เป็นพลังงานไฟฟ้า หรือกระแสไฟฟ้าได้โดยตรง โดยอาศัย原理การณ์โฟโต voltaic (Photovoltaic Effect) ซึ่งถูกค้นพบครั้งแรกเมื่อปี ค.ศ. 1839 โดย Antonie César Becquerel นักฟิสิกส์ชาวฝรั่งเศส พบว่ามีกระแสไฟฟ้าเกิดขึ้นเมื่อมีแสงตกกระทบข้าไฟฟ้าโดยของเซลล์อิเล็กโทร ไอลติก และในปี ค.ศ. 1941 Russel Ohl พัฒนาเซลล์แสงอาทิตย์ชนิดอยู่ต่อพื้นของสารกึ่งตัวนำผลึกเดียวซิลิคอน ณ ห้องปฏิบัติการเบลล์ ต่อมานี้เองได้สร้างเซลล์แสงอาทิตย์ที่เป็นรอยต่อพื้นของสารกึ่งตัวนำซิลิคอน เพื่อใช้เป็นแหล่งพลังงานของโครงการอวกาศ เซลล์แสงอาทิตย์ที่ได้มีประสิทธิภาพเท่ากับ 4% และได้พัฒนาให้มีประสิทธิภาพเท่ากับ 11% ในเวลาอีกไม่กี่ปีต่อมา หลักการทำงานของเซลล์แสงอาทิตย์ชนิดนี้อาศัยการเกิดอิเล็กตรอน (Electron, e⁻) และโอล (Hole, h⁺) อิสระที่รอยต่อพื้นของสารกึ่งตัวนำเมื่อมีแสงตกกระทบ ดังนั้นมือต่อวงจรไฟฟ้าภายนอกเข้ากับเซลล์แสงอาทิตย์ ก็จะเกิดการไหลของอิเล็กตรอนและโอลอิสระ เกิดเป็นไฟฟ้ากระแสตรง หรือเก็บสำรองไว้ในแบตเตอรี่ ในปี ค.ศ. 1958 เซลล์แสงอาทิตย์ชนิดอยู่ต่อพื้นของสารกึ่งตัวนำถูกนำมาใช้งานจริงเป็นครั้งแรก กับดาวเทียมแวนการ์ด I และปี ค.ศ. 1960 บริษัท Hoffman Electronics สามารถผลิตเซลล์แสงอาทิตย์ที่มีประสิทธิภาพสูงถึง 14% หลังจากนั้น ได้มีการพัฒนาเซลล์แสงอาทิตย์แบบรอยต่อพื้นของสารกึ่งตัวนำ ได้แก่ ก) เซลล์แสงอาทิตย์ชนิดผลึกเดียวซิลิคอน และเซลล์แสงอาทิตย์ชนิดโพลิซิลิคอน เป็นเซลล์แสงอาทิตย์ที่ประเทศไทยนำเข้ามาใช้มากที่สุดในปัจจุบัน ข) เซลล์แสงอาทิตย์ชนิดฟิล์มนางอะมอร์ฟัสซิลิคอน นิยมใช้ในอุปกรณ์อิเล็กทรอนิกส์ และ ค) เซลล์แสงอาทิตย์ชนิดผลึกแกลเลียมอาร์เซไนด์ ใช้ในอุตสาหกรรมอวกาศ เนื่องจากมีประสิทธิภาพสูง แต่มีราคาแพง

แม้ว่าเซลล์แสงอาทิตย์แบบรอยต่อพื้นของสารกึ่งตัวนำ จะมีประสิทธิภาพในการให้กระแสไฟฟ้าสูงแต่ยังไม่ได้รับความนิยมอย่างแพร่หลายเนื่องจากมีราคาแพง มีต้นทุนการผลิตสูง โดยเซลล์แสงอาทิตย์ชนิดผลึกเดียวซิลิคอน 1 พาเนล 36 เซลล์ มีราคาประมาณ 35,000 บาท นอกจากนี้ ในกระบวนการผลิตยังมีการสร้างก๊าชที่เป็นพิษต่อสิ่งแวดล้อม ต่อมาได้มีแนวความคิดสร้างเซลล์แสงอาทิตย์ที่ไม้อาศัยรอยต่อพื้นของสารกึ่งตัวนำ โดยสร้างรอยต่อสารกึ่งตัวนำกับของเหลวแทน เช่น เซลล์แสงอาทิตย์ชนิดอยู่ต่อระหว่างสารกึ่งตัวนำ n-CdSe กับสารละลายอิเล็กโทร ไอลต์ของ $[Fe(CN)_6]^{3-}/4^-$ หรือ poly-chalcogenide เซลล์แสงอาทิตย์ชนิดนี้ประกอบด้วย

พิล์มนบางสารกึ่งตัวนำบนขั้วเคาน์เตอร์ และสารละลายนิเล็กโตร ไอล์ต เมื่อแสงตกกระทบเซลล์สารกึ่งตัวนำจะคุกคักลีนแสง ทำให้อิเล็กตรอนในແນບ瓦เลนซ์ถูกการระดับขึ้นไปที่ແນบการนำ ทำให้เกิดโคลนในແນບ瓦เลนซ์ ซึ่งจะถูกชุดเชยโดยอิเล็กตรอนจากสารละลายนิเล็กโตรไอล์ต ในขณะเดียวกันอิเล็กตรอนในແນบการนำจะเคลื่อนที่ออกสู่วงจรภายนอก และสารละลายนิเล็กโตรไอล์ต จะรับอิเล็กตรอนคืนจากเคาน์เตอร์อิเล็กโตรค โดยกระบวนการทั้งหมดทำให้เกิดการไหลของกระแสไฟฟ้าคร่าวงจร

เซลล์แสงอาทิตย์ชนิดสีข้อม ไวแสง (Dye-Sensitized Solar Cell) ได้ถูกพัฒนามาจากเซลล์แสงอาทิตย์ชนิดหัวต่อสารกึ่งตัวนำของเหลว (Semiconductor/Liquid Junction Photovoltaic Cell) ส่วนประกอบหลักของเซลล์แสงอาทิตย์ชนิดนี้ กือสารกึ่งตัวนำ ขั้วเคาน์เตอร์ และสารละลายนิเล็กโตร ไอล์ต สารกึ่งตัวนำในเซลล์แสงอาทิตย์ชนิดนี้จะทำหน้าที่เป็นตัวคุกคักลีนแสงในช่วงที่ตามองเห็น ดังนั้นสารกึ่งตัวนำควรจะมีແນบพลังงาน (Energy Gap) น้อยๆ ประมาณ 1-2 eV ซึ่งสารกึ่งตัวนำที่มีคุณสมบัติดังกล่าวมักประสบปัญหาในเรื่องความทนทานต่ออุณหภูมิสูงๆ ความชื้น และการเปลี่ยนแปลงค่าพีเอส (pH) ทำให้ประสิทธิภาพเสื่อมได้ง่ายเมื่อโคนแสงอาทิตย์เป็นเวลานาน และสารกึ่งตัวนำบางชนิด เช่น ซิลิกอน (Si) และอินเดียมฟอสฟิด (InP) สามารถทำปฏิกิริยากับน้ำและออกซิเจนเกิดเป็นชั้นอนออกไซด์บางๆ ซึ่งมีสมบัติเป็นจวนไฟฟ้า

จากปัญหาดังกล่าวทำให้มีการใช้สารกึ่งตัวนำประเภทโลหะออกไซด์ที่สามารถทนต่อแสงอาทิตย์และมีความเสถียรมากขึ้น แต่โลหะออกไซด์เหล่านี้มีค่าของແນบพลังงานที่กว้างจึงไม่สามารถคุกคักลีนแสงในช่วงที่ตามองเห็นได้ (400-700 nm) เพื่อแก้ปัญหาดังกล่าวจึงมีการเคลือบโนเมเลกุลเม็ดสีข้อม (Dye Sensitizer) ลงบนสารกึ่งตัวนำโลหะออกไซด์ ซึ่งเม็ดสีข้อมทำหน้าที่คุกคักลีนแสงแล้วส่งอิเล็กตรอนให้กับสารกึ่งตัวนำโลหะออกไซด์ เนื่องจากตัวคุกคักลีนแสงคือเม็ดสี (Dye) จึงเรียกเซลล์แสงอาทิตย์ชนิดนี้ว่าเซลล์แสงอาทิตย์ชนิดสีข้อม ไวแสง (Dye-Sensitized Solar Cell: DSSC) ในช่วงแรกๆ ของการพัฒนาเซลล์แสงอาทิตย์ชนิดนี้จะประสบปัญหาในเรื่องของประสิทธิภาพที่ต่ำ เนื่องจากโลหะออกไซด์ที่ใช้มีผลึกขนาดใหญ่และพิล์มนไม่เป็นรูพรุนทำให้เม็ดสีข้อมเกาะที่สารกึ่งตัวนำได้น้อยจึงคุกคักลีนแสงอาทิตย์ได้น้อย

2.1 องค์ประกอบของเซลล์แสงอาทิตย์ชนิดสีข้อม ไวแสง

เซลล์แสงอาทิตย์ชนิดสีข้อม ไวแสงหรือเซลล์แสงอาทิตย์ชนิดผลึกนาโนเม็ดสี ถูกสร้างขึ้นโดยอาศัยหลักการพื้นฐานของกระบวนการสังเคราะห์แสงของพืช โดยมีส่วนประกอบหลักที่สำคัญดังนี้

2.1.1 ขั้วเวิร์กจี้ (Working Electrode: WE)

เป็นส่วนที่ต้องรับแสงประกอบด้วยสารกึ่งตัวนำโลหะออกไซด์ (Metal-oxide semiconductor) แก้วเคลือบด้วยสารนำไฟฟ้าโปร่งแสง (Transparent Conducting Oxide Glass: TCO) และเม็ดสีย้อม (Dye-Sensitizer)

2.1.1.1 สารกึ่งตัวนำโลหะออกไซด์ (Metal Oxide Semiconductor)

เป็นกลุ่มของสารกึ่งตัวนำประเภทที่แอบพลังงานกว้าง (Wide Band Gap Semiconductor) และมีลักษณะเป็นรูพรุน (Porous) สูง เพื่อเพิ่มพื้นที่ผิวให้มากขึ้น ทำให้เม็ดสีย้อมสามารถเข้าไปเกาะที่พื้นผิวของสารกึ่งตัวนำได้เป็นจำนวนมาก ขอบล่างของแอบพลังงานนำ (Conduction Band Edge) ต้องต่ำกว่าพลังงานที่สถานะกระตุ้นของสีย้อม เพื่อให้สามารถรับอิเล็กตรอนจากสีย้อมได้ นอกจากนั้นสารกึ่งตัวนำยังต้องมีค่าคงที่การนำไฟฟ้า (Dielectric Constant) ที่สูง มีความเสถียร ทนความร้อน และไม่เป็นพิษต่อสิ่งแวดล้อม สารกึ่งตัวนำในกลุ่มโลหะออกไซด์ที่นิยมใช้มากที่สุด คือ ไทเทเนียม dioxide (TiO₂) ไทเทเนียม dioxide เป็นสารกึ่งตัวนำชนิดเอ็น (N Type semiconductor) มีอยู่ 3 โครงสร้างคือ รูไทล์ (Rutile), อะนาเทส (Anatase) และ บรูโคท (Brookhite) ซึ่งไทเทเนียม dioxide ที่อยู่ในรูปของอะนาเทสนิยมใช้มากที่สุด เพราะมีค่า $E_g = 3.2 \text{ eV}$ ในการนำไฟฟ้าที่สูง และค่าดัชนีหักเหแสงที่สูง ($n = 2.5$) ซึ่งจะทำให้แสงสะท้อนกลับมากขึ้นทำให้เม็ดสีมีโอกาสคุกคันแสงได้หลายรอบ รูไทล์และอะนาเทสมีหน่วยเซลล์ (Unit cell) เป็นแบบเตต拉โนโนด (Tetragonal) ภายในประกอบไปด้วย ออกตะหีดอล (Octahedral) ที่มีลักษณะบิดตัว ความยาวพันธะของรูไทล์และอะนาเทสจะคล้ายคลึงกัน แต่อะนาเทสที่เป็นแบบออกตะหีดอลจะมีการบิดตัวของมุมมากกว่า ดังนั้นอะนาเทสจึงมีโครงสร้างเป็นแบบเปิดมากกว่า (โนลาร์ โวลุ่มสูงกว่า แต่ความหนาแน่นต่ำกว่า)

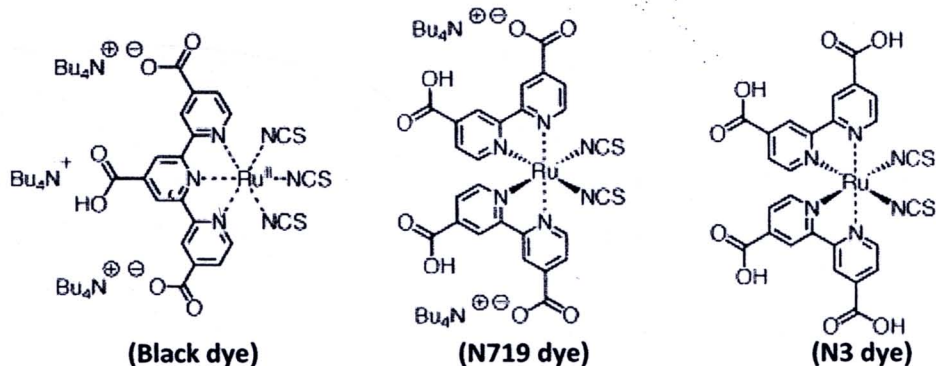
2.1.1.2 แก้วเคลือบสารนำไฟฟ้าโปร่งใส (Transparent Conducting Oxide Glass)

สารนำไฟฟ้าโปร่งใสหรือโปร่งแสงมีคุณสมบัตินำไฟฟ้าได้และในขณะเดียวกันก็ย้อมให้แสงในช่วงที่ตามองเห็นผ่านได้มาก โดยทั่วไปมักใช้สารอินเดียนทินออกไซด์ (Indium Tin Oxide: ITO) แต่เนื่องจาก ITO ไม่เสถียรเมื่อเผาที่อุณหภูมิสูงซึ่งส่งผลให้สภาพความต้านทานมีค่ามากขึ้น เป็นผลให้ประสิทธิภาพของเซลล์แสงอาทิตย์ลดลง ดังนั้นจึงมีการใช้สารทินออกไซด์ที่ผสมด้วยฟลูออร์ไรด์ (F-SnO₂: FTO) มาใช้แทน ITO เพื่อเพิ่มความเสถียรให้กับการนำไฟฟ้า

2.1.1.3 เม็ดสีย้อมไวแสง (Dye-Sensitizer)

โนเมลกุลของเม็ดสีจะเข้าไปเคลือบอยู่บนผิวของอนุภาคโลหะออกไซด์ ทำหน้าที่ในการคุกคันแสงอาทิตย์และปล่อยอิเล็กตรอนให้กับสารกึ่งตัวนำ โดยที่เม็ดสีย้อมจะต้องมี

คุณสมบัติ คือ มีความเสถียรในทุกสภาวะ (สภาพดูดออกซิไดซ์ สภาวะพื้นและสภาพดูดกระดูด) มีค่าการดูดกลืนแสงที่สูง และมีราคาถูก ปกติแล้วมักใช้โนเลกุลของสารประกอบเชิงช้อนของโลหะ Ruthenium (Ru) กับ ลิกแคนด์ (Ligand) ในกลุ่มของพิริดีน (Pyridine) ตัวอย่างสูตรโครงสร้างเม็ดสี ข้อมูลที่เป็นสารประกอบเชิงช้อนของโลหะ Ruthenium (Ru)



ภาพที่ 2.1 ตัวอย่างสูตรโครงสร้างโนเลกุลสารประกอบเชิงช้อนของโลหะ Ruthenium (Ru) ชนิดต่างๆ (Ruthenium, 2010)

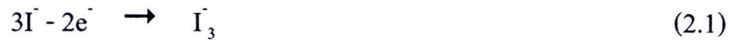
2.1.2 ขั้วเคมีเตอร์ (Counter Electrode: CE)

ขั้วเคมีเตอร์เป็นขั้วหนึ่งของเซลล์แสงอาทิตย์ ทำหน้าที่ถ่ายโอนอิเล็กตรอนที่มาจากการวิ่งกึ่งให้กับสารละลายนิเดคโทรไลด์ (Electrolyte Solution) โดยที่ขั้วเคมีเตอร์ต้องมีคุณสมบัติ ดังนี้ คือ มีค่าการนำไฟฟ้าที่ดี มีความเป็นกรดดูดสูงเพื่อเพิ่มพื้นที่ผิวในการเกิดปฏิกิริยา เป็นตัวเร่งปฏิกิริยาที่ดี และทนต่อการกัดกร่อน โดยส่วนประกอบของขั้วเคมีเตอร์คือ แผ่นตัวนำโปร่งแสง เคลือบด้วยโลหะแพลทินัม (Pt) ซึ่งเป็นตัวเร่งปฏิกิริยาที่ดี แต่เนื่องจาก แพลทินัมนิรภัยแพลง จึงมีการศึกษาและนำเอาตัวเร่งปฏิกิริยาชนิดอื่นมาใช้ทดแทนแพลทินัม เช่น กราไฟต์คาร์บอน โพลิเมอร์ นำไฟฟ้า เพื่อลดต้นทุนการผลิต ซึ่งในงานวิจัยนี้เลือกใช้ห่อนาโนคาร์บอนเพราะมีคุณสมบัติของขั้วเคมีเตอร์ที่ดีและมีราคาถูกกว่าแพลทินัม

2.1.3 สารละลายนิเดคโทรไลด์ (Electrolyte Solution)

สารละลายนิเดคโทรไลด์ ทำหน้าที่ในการส่งผ่านอิเล็กตรอน (Electron Transfer) โดยอาศัยกระบวนการเกิดปฏิกิริยาเรตักชัน (Reduction) และปฏิกิริยาออกซิเดชัน (Oxidation) หรือที่เรียกว่าปฏิกิริยาเร็คอกซ์ (Redox Reaction) สารละลายนิเดคโทรไลด์ที่ดีต้องมีคุณสมบัติดังนี้ ไม่ดูดกลืนแสงอาทิตย์ในช่วงที่ตามองเห็น มีความสามารถในการเกิดปฏิกิริยาออกซิเดชันได้ง่าย

เพื่อชดเชยอิเล็กตรอนให้แก่เม็ดสีย้อมที่อยู่ในรูปตัวออกซิไดซ์ได้อย่างรวดเร็ว สารละลายนิเล็กโตรไอลท์ที่นิยมใช้ในเซลล์แสงอาทิตย์ชนิดนี้ คือ สารละลายนิเล็กโตรไอลท์ในระบบ I^- / I_3^- โดย I^- จะให้อิเล็กตรอนกับเม็ดสีย้อมที่อยู่ในรูปของตัวออกซิไดซ์ที่สถานะพื้นได้เป็นอย่างดี ดังแสดงในสมการ (1) และในขณะเดียวกัน I^- , ที่เกิดขึ้นจะเกิดปฏิกิริยาเรตักชัน เพื่อรับอิเล็กตรอนที่ข้าวكانเนตอร์ ดังสมการ (2)



2.2 หลักการทำงานของเซลล์แสงอาทิตย์ชนิดสีย้อมไวแสง

หลักการทำงานพื้นฐานของเซลล์แสงอาทิตย์ชนิดสีย้อมไวแสง ประกอบไปด้วย 5 ขั้นตอน ดังนี้

ขั้นที่ 1 เม็ดสีย้อม S^0 คุณลักษณะของเซลล์แสงอาทิตย์ ทำให้อิเล็กตรอนที่อยู่ในเม็ดสีย้อมมีพลังงานสูงขึ้น ซึ่งสถานะนี้อิเล็กตรอนของเม็ดสีย้อมจะอยู่ในสถานะถูกกระตุ้น (Excited State) แทนสถานะของเม็ดสีย้อมที่ถูกกระตุ้นด้วย S^*

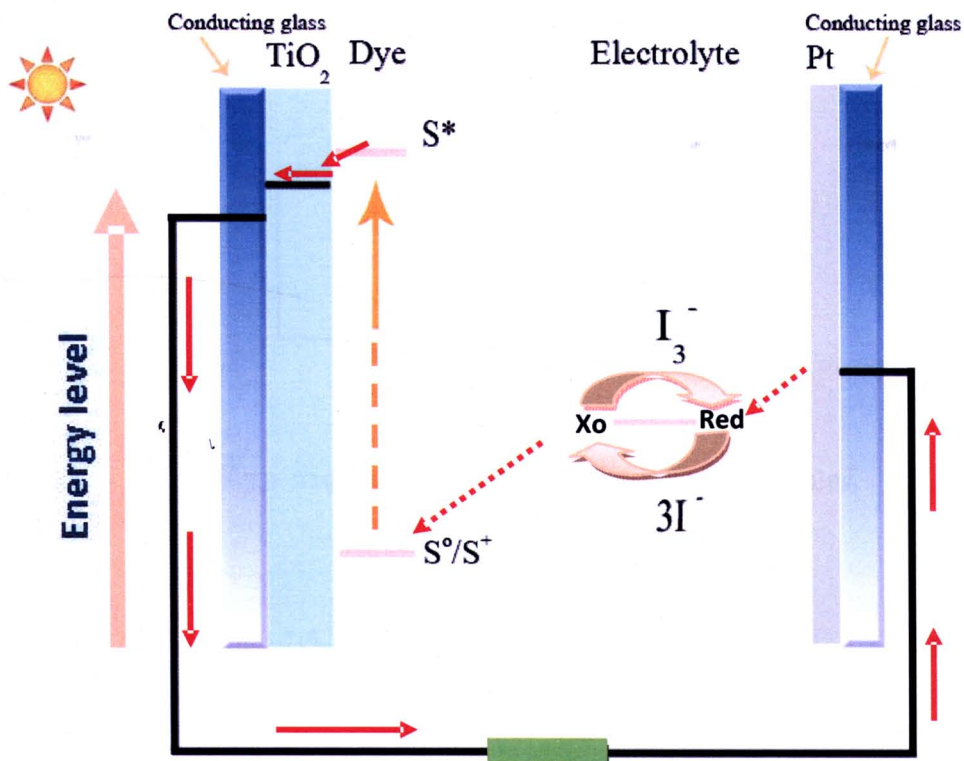
ขั้นที่ 2 อิเล็กตรอนที่อยู่ในสถานะถูกกระตุ้นจะถูกฉีด (Injection) เข้าสู่ແคนการนำของสารกึ่งตัวนำโลหะออกไซด์ (TiO_2)

ขั้นที่ 3 อิเล็กตรอนจะถูกนำผ่านชั้นสารกึ่งตัวนำโลหะออกไซด์ แล้วเคลื่อนที่มาบังชั้นของแก้วเคลือบสารนำไฟฟ้าไปร่องแสง (TCO) และไฟหล่อผ่านโลหะมายังข้าวكانเนตอร์

ขั้นที่ 4 Tri-iodide (I_3^-) ในอิเล็กโตรไอลท์จะเข้าไปรับอิเล็กตรอนที่ข้าวكانเนตอร์เกิดปฏิกิริยาเรตักชัน ทำให้ได้ Iodide (I^-)

ขั้นที่ 5 Iodide (I^-) จะนำอิเล็กตรอนไปถ่ายเทให้กับเม็ดสีย้อมที่เสียอิเล็กตรอนไป S^+ เม็ดสีย้อมที่ได้รับอิเล็กตรอนจาก Iodide จะกลับมาอยู่ในสถานะพื้นดังเดิม S^0

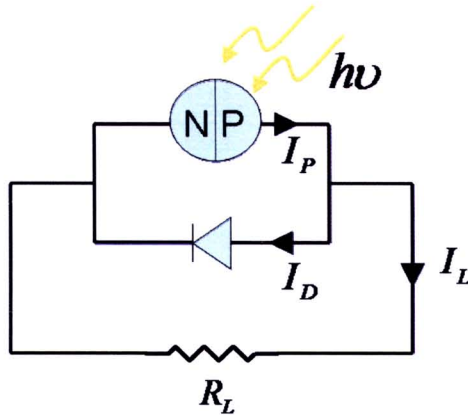
กระบวนการจากขั้นที่ 1 ถึงขั้นที่ 5 จะเกิดต่อเนื่องไปเรื่อยๆ ตราบใดที่ยังมีแสงอาทิตย์มาตกกระทบเซลล์ทำให้สามารถเปลี่ยนพลังงานแสงเป็นพลังงานไฟฟ้าได้อย่างต่อเนื่อง



ภาพที่ 2.2 วัสดุจกรในการหมุนเวียนอิเล็กตรอนของเซลล์แสงอาทิตย์ชนิดสีเหลืองไวแสง

2.3 การวัดประสิทธิภาพเซลล์แสงอาทิตย์

เพื่อให้เข้าใจหลักการวัดประสิทธิภาพเซลล์แสงอาทิตย์เราจะพิจารณาเซลล์แสงอาทิตย์แบบรอยต่อพีเอ็น (PN Junction Solar Cell) แบบง่ายๆ ที่มีการเกิดพาหะส่วนเกินอย่างสม่ำเสมอเมื่อมีแสง (โฟตอน) ตกกระทบ พีเอ็นจะสร้างคู่อิเล็กตรอน-โไฮดรอนในบริเวณประจุค้าง ซึ่งจะถูกการดูดซึมมาเกิดเป็นกระแสโฟโต้ (Photo Current, I_p) ในขณะเดียวกันรอยต่อพีเอ็นจะเป็นไดโอดต่อขนาดกับ P-N Solar Cell ที่สร้างคู่อิเล็กตรอน-โไฮดรอน กระแสไฟฟ้าที่ไหลผ่านไดโอดเรียกว่ากระแสไดโอด (Diode Current, I_d) จะไหลในทิศทางเดียวกับ I_p ดังแสดงในภาพที่ 2.3



ภาพที่ 2.3 วงจรเซลล์แสงอาทิตย์แบบรอยต่อพี-เอ็น ในอุณหภูมิ

เมื่อต่อโอลด์ R_L เข้าไปกับเซลล์แสงอาทิตย์จะมีกระแสที่ไหลผ่านโอลด์ I_L ทำให้ได้ความสัมพันธ์ของกระแสไฟฟ้าต่อ ดังสมการด้านล่าง

$$I_P = I_D + I_L \quad (2.3)$$

ดังนั้นกระแสที่ไหลผ่านโอลด์ I_L เป็นดังสมการ (2.4)

$$I_L = I_P - I_D \quad (2.4)$$

ใช้สมการกระแสผ่านไดโอดในอุณหภูมิ $I_D = I_0(e^{\frac{qV}{k_B T}} - 1)$ จะได้

$$I_L = I_P - I_0(e^{\frac{qV}{k_B T}} - 1) \quad (2.5)$$

เมื่อ I_0 คือค่าคงที่เฉพาะของวัสดุ q คือประจุไฟฟ้า V คือความต่างศักย์คร่อมโอลด์ k_B คือค่าคงที่ของโบลท์zman's T คืออุณหภูมิ ที่กล่าวมานี้เป็นเซลล์แสงอาทิตย์แบบรอยต่อพีเอ็นในอุณหภูมิ แต่ในเซลล์แสงอาทิตย์จริงนั้นจะมี Shunt Resistance (R_{sh}) เป็นความต้านทานที่เกิดขึ้นเนื่องมาจากการรั่วของกระแสผ่านบริเวณร้อยต่อในเซลล์ และค่าความต้านทานที่เป็นผลเนื่องจากค่าความต้านทานของวัสดุที่ใช้ทำเซลล์ซึ่งส่งผลต่อการไหลของกระแส โดยเฉพาะอย่างยิ่งไหลผ่านผิวน้ำไปยังจุดสัมผัสนอยู่ที่ขั้วทั้งสองของเซลล์ของวัสดุที่ใช้ทำเซลล์ที่เรียกว่า Series Resistance (R_s) แสดงในภาพที่ 2.4 ซึ่งความต้านทานทั้งสองตัวนี้จะมีผลต่อกระแสไฟฟ้า ทำให้ได้กระแสไฟฟ้าต่อ ดังสมการ (2.6)

$$I_P = I_D + I_{sh} + I_L \quad (2.6)$$

$$I_L = I_P - I_D - I_{sh}$$

$$I_L = I_P - I_0(e^{\frac{qV}{k_B T}} - 1) - I_{sh} \quad (2.7)$$

เมื่อ $V = V_s + V_L$

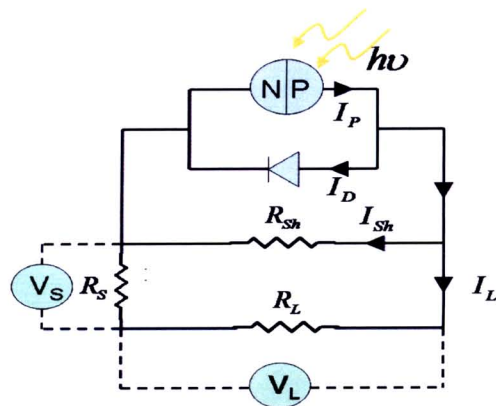
สมการ (2.7) เขียนใหม่ได้เป็น

$$I_L = I_P - I_0(e^{\frac{q(V_s + V_L)}{k_B T}} - 1) - \frac{V_s + V_L}{R_{sh}}$$

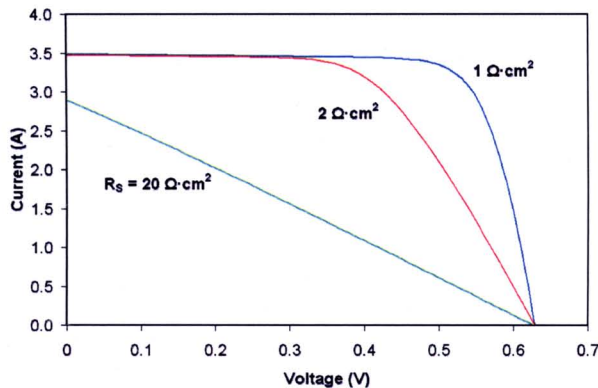
เมื่อ V_s คือความต่างศักย์คร่อม R_s และ V_L คือ ความต่างศักย์คร่อมโหลด

เมื่อ $V_s = I_L R_s$

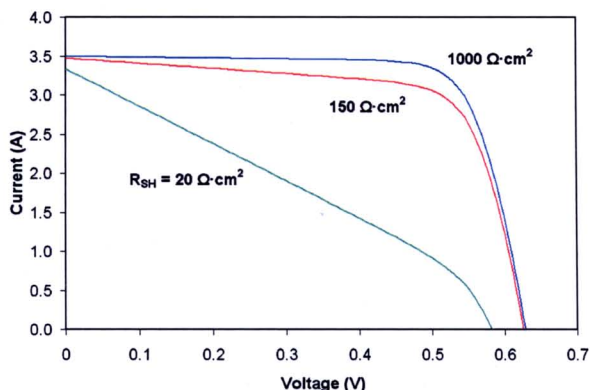
$$I_L = I_P - I_0(e^{\frac{q(V_s + I_L R_s)}{k_B T}} - 1) - \frac{I_L R_s + V_L}{R_{sh}} \quad (2.8)$$



ภาพที่ 2.4 วงจรสมมุติเซลล์แสงอาทิตย์แบบร้อยต่อฟีเอ็น



ภาพที่ 2.5 กราฟความสัมพันธ์ระหว่างกระแสกับความต่างศักย์ เมื่อ R_s ต่างๆ (Solar cell, 2010)



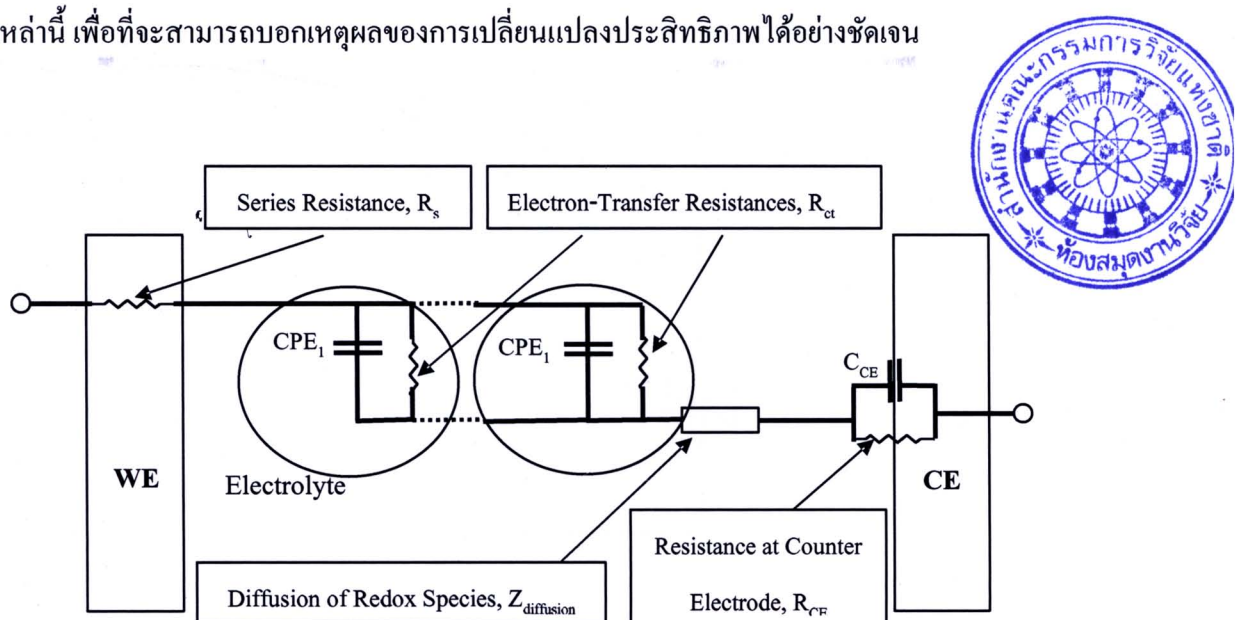
ภาพที่ 2.6 กราฟความสัมพันธ์ระหว่างกระแสกับความต่างศักย์ เมื่อ R_{sh} ต่างๆ (Solar cell, 2010)

ในการพัฒนาเซลล์แสงอาทิตย์เราต้องการให้ R_s มีค่าน้อยๆ และให้ R_{sh} มีค่ามากๆ เนื่องจากความต้านทานทั้งสองค่านี้จะส่งผลต่อ Fill Factor และประสิทธิภาพของเซลล์ซึ่งจะกล่าวต่อไป

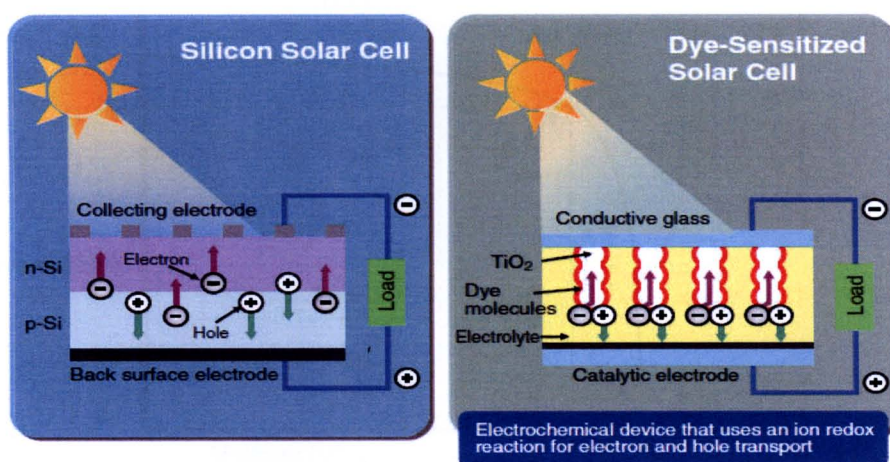
ทำนองเดียวกันถ้าเรามองเซลล์แสงอาทิตย์ชนิดสีเข้มไว้แสงให้คล้ายเซลล์แสงอาทิตย์แบบร้อยต่อพีเอ็นก็จะได้ผลดังที่กล่าวมาข้างต้น โดยมองว่าขั้วเวอร์กิ้งเป็นอิเล็กตรอน ขั้วเคาน์เตอร์และสารอิเล็กโทรไลต์เป็นพื้นดังแสดงในภาพที่ 2.8 เราสามารถอธิบายเซลล์แสงอาทิตย์ด้วยหลักการของพีเอ็น

แต่ในเซลล์แสงอาทิตย์ชนิดสีเข้มไว้แสงนั้นมีวงจรสมมูลแตกต่างจากแบบร้อยต่อพีเอ็น จากรายงานวิจัยของ Zhigang Chen (Chen et al., 2007) ให้วงจรรูปของเซลล์แสงอาทิตย์ชนิดสีเข้มไว้แสง ดังภาพที่ 2.7 ซึ่งประกอบไปด้วย Series Resistance (R_s), ความต้านทานการส่งผ่านอิเล็กตรอน

(Electron-Transfer Resistances, R_{ct}) ที่ผิวน้ำระหว่าง $\text{TiO}_2/\text{Dye}/\text{Electrolyte}$, CPE_1 แทนค่า Constant Phase Element ระหว่างผิวน้ำของ $\text{TiO}_2/\text{Dye}/\text{Electrolyte}$ ค่าการแพร่ของไอออนในสารละลายน้ำ (Diffusion of ions in the electrolyte, $Z_{diffusion}$) ความต้านทานที่ข้าวเคลน์เตอร์ (Resistance at Counter Electrode, R_{CE}) และ C_{CE} คือค่า ค่าการเก็บประจุระหว่างผิวน้ำของ Counter Electrode/Electrolyte ดังนั้นการวิเคราะห์เซลล์แสงอาทิตย์ชนิดนี้ควรมีการวัดค่าเหล่านี้ เพื่อที่จะสามารถออกแบบทดลองของการเปลี่ยนแปลงประสิทธิภาพได้อย่างชัดเจน



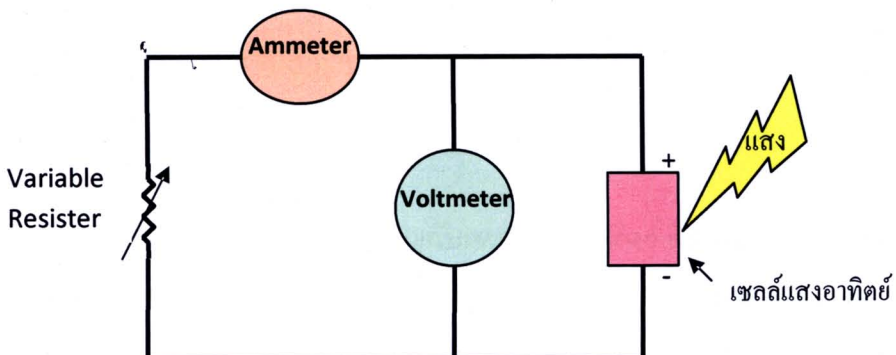
ภาพที่ 2.7 วงจรสมมูลเซลล์แสงอาทิตย์ชนิดสีข้อม ไวแสง



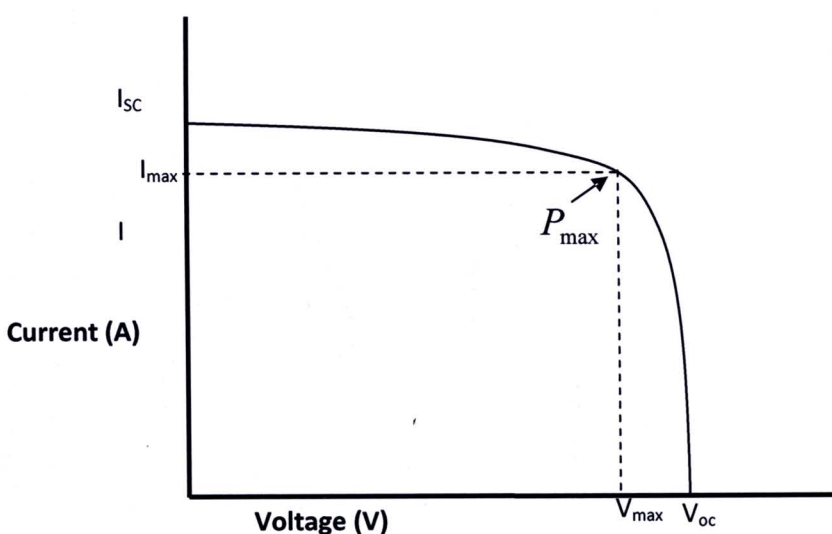
ภาพที่ 2.8 แสดงการเปรียบเทียบโครงสร้างของเซลล์แสงอาทิตย์แบบรอยต่อพื้นที่ กับเซลล์แสงอาทิตย์ชนิดสีข้อม ไวแสง (Research and Development..., 2010)

ก ๐๑๐	ก ๐๑๐	ก ๐๑๐
ท่องสมุดงานวิจัย		
วันที่.....	27.00	๒๔๕๕๗๘
เลขทะเบียน.....		
เลขเรียกหนังสือ.....		

การวัดประสิทธิภาพเซลล์แสงอาทิตย์ใช้วงจรอย่างง่ายดังแสดงในภาพที่ 2.9 ซึ่งประกอบไปด้วย เซลล์แสงอาทิตย์ ตัวต้านทานที่ปรับค่าได้ (Variable Resistor) และ อัมมิเตอร์ (Ammeter) และ โวลต์มิเตอร์ (Voltmeter) เมื่อให้แสงที่มีกำลัง (P_{light}) ที่ทราบค่าແணื่องและคงที่ต่อกรอบบนเซลล์ แสงอาทิตย์ จะเกิดกระแสไฟฟ้าในวงจรโดยตัวต้านทานปรับค่าได้จะเป็นตัวควบคุมขนาดของ กระแสที่ไหลออกจากเซลล์แสงอาทิตย์ โดยเปลี่ยนความต้านทานจาก 0 โอห์ม ไปจนถึงอนันต์ ขณะที่เปลี่ยนความต้านทานนั้นวัดความต่างศักย์และกระแส แล้วนำข้อมูลที่ได้ไปเขียนกราฟ ระหว่างความต่างศักย์และกระแสไฟฟ้า จะได้กราฟดังภาพที่ 2.10



ภาพที่ 2.9 วงจรการวัดประสิทธิภาพเซลล์แสงอาทิตย์อย่างง่าย



ภาพที่ 2.10 กราฟแสดงความสัมพันธ์ระหว่างกระแส (I) กับความต่างศักย์ (V) ในการวัดความต่างศักย์และกระแสที่ไหลในวงจร มีสองกรณีที่น่าสนใจคือ

กรณีที่หนึ่ง การลัดวงจรจะเกิดขึ้นเมื่อ $R=0$ โดยทั่วไปดังนี้ $V=0$ โอลต์ กระแสในกรณีนี้เรียกว่า กระแสลัดวงจร (Short-Circuit Current, I_{sc})

$$I_L = I_{sc}$$

กรณีที่สอง การเปิดวงจรจะเกิดขึ้นเมื่อ $R \rightarrow \infty$ กระแสสูตรจะเป็นศูนย์ และแรงดันที่เกิดขึ้นคือ แรงดันเปิดวงจร (Open-Circuit Voltage, V_{oc}) กระแสไฟฟ้าจะเท่ากับกระแสเรออยต่อในอัตราไปข้างหน้า (กระแสไดโอด)

$$I_L = 0 = I_p - I_0 \left[\exp\left(\frac{qV}{k_B T}\right) - 1 \right]$$

เราสามารถเปลี่ยนแรงดันเปิดวงจร V_{oc} ได้ดังนี้

$$V_{oc} = V_t \ln\left(1 + \frac{I_p}{I_0}\right) \text{ เมื่อ } V_t \text{ คือ Thermal Voltage}$$

พารามิเตอร์ตัวหนึ่งที่มีความสำคัญกับเซลล์แสงอาทิตย์ คือ Fill Factor ใช้ตัวบ่ง FF ซึ่งสามารถหาได้จากลักษณะกราฟ I - V โดยเซลล์แสงอาทิตย์ในอุณหภูมิคงที่ T ค่า Fill Factor เท่ากับหนึ่ง Fill Factor นิยามว่าคือ อัตราส่วนระหว่างกำลังไฟฟ้าสูงสุดต่อผลคูณของแรงดันไฟฟ้าງงานเปิด และ กระแสไฟฟ้าลัดวงจร นอกจานนี้ยังหมายถึงความเป็นสี่เหลี่ยมของกราฟระหว่าง I และ V ด้วย

$$FF = \frac{P_{max}}{I_{sc} V_{oc}} = \frac{I_{max} V_{max}}{I_{sc} V_{oc}} \quad (2.9)$$

โดยที่ I_{max} คือ ค่ากระแสไฟฟ้าสูงสุด

V_{max} คือ ค่าแรงดันไฟฟ้าสูงสุด

I_{sc} คือ กระแสไฟฟ้าลัดวงจร

V_{oc} คือ แรงดันไฟฟ้าງงานเปิด

P_{max} คือ กำลังไฟฟ้าสูงสุด

นอกจากนี้ พารามิเตอร์ที่สำคัญอีกด้วยหนึ่งคือ “ประสิทธิภาพการแปลงพลังงาน” (Energy Conversion Efficiency: η) ซึ่งบางครั้งเรียกว่า “ประสิทธิภาพเซลล์อาทิตย์” (Solar Cell Efficiency) ซึ่งเป็นอัตราส่วนของกำลังงานไฟฟ้าที่เซลล์จ่ายออกมานะ (P_{out}) ต่อกำลังงานที่เซลล์ได้รับ (P_{in})

$$\eta = \frac{P_{out}}{P_{in}} \times 100\% \quad (2.10)$$

ในที่นี่กำลังงานไฟฟ้าที่เซลล์จ่ายออกมาน่าเท่ากับกำลังไฟฟ้าสูงสุด ได้สมการเป็น

$$\eta = \frac{P_{max}}{P_{in}} \times 100\%$$

เมื่อเขียนใหม่ในเทอมของ Fill Factor จะได้ว่า

$$\eta = \frac{I_{max}V_{max}}{P_{in}} \times 100\% = \frac{I_{sc}V_{oc}FF}{P_{in}} \times 100\% \quad (2.11)$$

โดยทั่วไปนิยมวัดกระแสต่อพื้นที่ (A) นั้นคือความหนาแน่นกระแส (J) และ P_{in} จะเท่ากับกำลังงานของแสงที่ต่ำกระทบผิวน้ำเซลล์ (P_{light}) ดังนั้นสมการ (2.10) เขียนใหม่ได้เป็น

$$\eta = \frac{J_{sc}AV_{oc}FF}{P_{light}} \times 100\% \quad (2.12)$$

โดยที่ η คือ ประสิทธิภาพของเซลล์แสงอาทิตย์ (Solar cell efficiency)

J_{sc} คือ ความหนาแน่นกระแสไฟฟ้าลัดวงจร

V_{oc} คือ แรงดันไฟฟ้าวงจรเปิด

FF คือ Fill Factor

A คือ พื้นที่รับแสงของเซลล์แสงอาทิตย์

P_{light} คือ กำลังของแสงที่ต่ำกระทบเซลล์

2.4 งานวิจัยที่เกี่ยวข้อง

Grätzel และคณะ (1991) เป็นกลุ่มวิจัยที่ประสบผลสำเร็จอย่างมากในการศึกษาเซลล์แสงอาทิตย์ชนิดสีข้อมไวแสง โดยในปี ค.ศ. 1991 O'Regan และ Grätzel ได้ใช้สารกึ่งตัวนำโลหะออกไซด์ที่มีลักษณะโครงสร้างเป็นรูพรุน (Porous) ทำให้เพิ่มพื้นที่ผิวของการเกิดปฏิกิริยา และยังทำให้เพิ่มปริมาณตัวคุณลักษณะแสงเจ้าไปอยู่บนสารกึ่งตัวนำโลหะออกไซด์มากขึ้นซึ่งเป็นการเพิ่มประสิทธิภาพการดูดกลืนแสง นอกจ้านั้นยังใช้มีดสีข้อมที่เป็น Ruthenium(II) polypyridyl complex เป็นตัวคุณลักษณะแสง ทำให้ได้ประสิทธิภาพของเซลล์แสงอาทิตย์มากถึง 7% และในปัจจุบันทีมของ Grätzel ได้พัฒนาเซลล์แสงอาทิตย์ชนิดนี้ให้ประสิทธิภาพสูงมากถึง 11.18% (O'Regan, Grätzel, 1991)

Kay และ Grätzel (1996) ประดิษฐ์เซลล์แสงอาทิตย์ชนิดสีข้อมไวแสงแพงขนาดใหญ่ หรือเรียกว่า โมดูล (Modules) ให้มีราคาถูกลงโดยใช้สารผสมคาร์บอนแบล็ค (Carbon Black) และ กราไฟต์ (Graphite) เป็นขั้วเคน์เตอร์แทนโลหะแพลทินัม (Pt) โดยกราไฟต์จะช่วยในการนำไฟฟ้า ของฟิล์มเคน์เตอร์ ส่วนคาร์บอนแบล็คนั้นทำให้ฟิล์มมีพื้นที่ผิวสัมผัสถกับอิเล็กตรโอล์ตได้มากขึ้น ประสิทธิภาพที่ได้คือ 6.7% (Kay, Grätzel, 1996)

Kitamura และคณะ (2001) ทำการเปรียบเทียบระหว่าง Pt-Sputtered บน FTO-glass กับ Carbon Black เคลือบบน FTO-glass เป็นขั้วเคน์เตอร์ใน Solid-State DSSCs โดยใช้ Polypyrrole เป็น Hole-Transport Material (HTM) ซึ่งสามารถปรับปรุง Fill Factor และประสิทธิภาพให้เพิ่มขึ้น เนื่องจากโครงสร้างที่มีรูพรุนของการบอนทำให้พื้นที่ผิวสัมผัสระหว่าง Polypyrrole กับขั้ว เ肯์เตอร์ทำให้การแลกเปลี่ยนประจุมีมากขึ้น (Kitamura et al., 2001)

Saito และคณะ (2002) ได้ใช้โพลิเมอร์นำไฟฟ้า Poly(3,4-ethylenedioxythiophene) ผสม ด้วย *p*-toluenesulfonate (PEDOT-TsO) เป็นตัวเร่งปฏิกิริยาสำหรับขั้วเคน์เตอร์ในเซลล์แสงอาทิตย์ ชนิดสีข้อมไวแสง โดยเคลือบฟิล์มด้วยวิธี Spin Coating บนกระจานนำไฟฟ้าไปรังแสง ITO ประสิทธิภาพที่ได้ ~4.60% (Saito et al., 2002)

Suzuki และคณะ (2003) นำท่อนาโนการบอนชานิกผังชั้นเดียว (Single-Wall Carbon Nanotubes, SWCNTs) มาใช้เป็นขั้วเคน์เตอร์ในเซลล์แสงอาทิตย์ชนิดสีข้อมไวแสง โดยเคลือบ SWCNTs บนวัสดุสองชนิดคือ FTO-glass และ Teflon Membrane ซึ่งได้ประสิทธิภาพเป็น 3.5% และ 4.5% ตามลำดับ แสดงให้เห็นว่าท่อนาโนการบอนนี้มีคุณสมบัติเป็นตัวนำไฟฟ้าและเป็นตัวเร่งปฏิกิริยาในสารละลายอิเล็กโตรโอล์ตได้ (Suzuki et al., 2003)

Ma และคณะ (2004) ประดิษฐ์ขั้วเคน์เตอร์โดยเคลือบ Pt บนพลาสติกนำไฟฟ้า Indium Tin Oxide Coated Poly(Ethylene Naphthalate) (ITO-PEN) ด้วยวิธี Sputtering ที่อุณหภูมิห้อง ประสิทธิภาพที่ได้คือ 5.39% (Ma et al., 2004)

Ito และคณะ (2006) ได้ทดลองโดยเคลือบ Pt โดยวิธี Electrochemical Deposition โดยใช้สาร H_2PtCl_6 ในน้ำเคลือบบนฐานรอง ITO-PEN เป็นขั้วเ肯์เตอร์ใน Flexible DSSCs โดยผลที่ได้คือ J_{sc} 13.6 mA V_{oc} 780 mV Fill Factor 0.68 และประสิทธิภาพ 7.2% (Ito et al., 2006)

Wei และคณะ (2006) ได้สังเคราะห์ Polyvinyltolidone Capped Platinum (PVP-Capped Pt) และเคลือบบน ITO-glass โดยวิธีแช่ใน Suspension ของ PVP-Capped Pt และทำให้แห้งที่อุณหภูมิ ต่ำกว่า 60 °C แล้วนำไปใช้เป็นขั้วเคน์เตอร์ใน DSSCs ซึ่งประสิทธิภาพที่ได้คือ 2.84% (Wei et al., 2006)

Li และคณะ (2008) ประดิษฐ์ DSSCs โดยใช้ Polyaniline (PANI) ที่มีขนาดอนุภาคประมาณ 100 nm เป็นฟิล์มเคนเนอร์ ซึ่ง PANI มีคุณสมบัติคือ Transfer Resistance ต่ำ และ Electrocatalytic Activity สำหรับ I_3^-/I^- ปฏิกิริยาเร็วที่สูง และทำการเคลือบฟิล์มด้วยวิธี Dip-Tutting ที่อุณหภูมิห้องและทำให้แห้งที่อุณหภูมิ 150 °C (Li et al., 2008)

Jihuai และคณะ (2008) ใช้ Polypyrrole (PPy) ที่มีขนาดอนุภาคอยู่ในระดับนาโนเมตร เคลือบนกระจกนำไฟฟ้า (FTO-glass) เพื่อใช้เป็นขั้วเคนเนอร์ใน DSSCs อนุภาคของโพลิเมอร์ที่มีขนาดเล็กมากนี้จะช่วยให้พื้นที่ของการเกิดปฏิกิริยาของ I_3^- ในสารละลายอิเล็กโทรไลต์กับผิวฟิล์ม เ肯เนอร์มีมากขึ้น ประสิทธิภาพเซลล์แสงอาทิตย์ได้คือ 7.66% (Jihuai et al., 2008)

Nam และคณะ (2009) ทำการประดิษฐ์เซลล์แสงอาทิตย์โดยการใช้ห่อนาโนคาร์บอนเป็นขั้วเคนเนอร์ซึ่งเตรียมด้วยสองวิธีการที่แตกต่างกัน วิธีแรกคือ Screen Printing วิธีที่สองคือ Chemical Vapor Deposition (CVD) พบร่วมประสิทธิภาพของเซลล์ที่ใช้ขั้วเคนเนอร์จากวิธี CVD ให้ประสิทธิภาพสูงถึง 10.04% ส่วนจากวิธี Screen Printing ให้ประสิทธิภาพ 8.03% (Nam et al., 2009)

Chen และคณะ (2010) ศึกษา Flexible DSSCs โดยทำการเปลี่ยนปริมาณของ Pt ให้ลดลง ขั้วเคนเนอร์ซึ่งเคลือบด้วยวิธี Chemical Reduced บน Flexible Indium-Doped Tin Oxide Coated Polyethylene Naphthalate (ITO-PEN) และเปรียบเทียบกับวิธี Screen Printing โดยใช้สาร $H_2PtCl_6 \cdot 6H_2O$ ในสารละลาย Terpineol และหลังจากทำให้แห้งแล้วนำไป Treating ในสาร $NaBH_4$ ที่อุณหภูมิ 100 °C ผลการศึกษาพบว่าวิธีแรกได้ประสิทธิภาพเซลล์แสงอาทิตย์ 5.62% วิธีที่สองได้ 5.41% (Chen et al., 2010)